

· 研究原著 ·

文章编号 1000-2790(2006)11-0964-04

亚硒酸钠对大鼠肾小球系膜细胞表达 p38MAPK 和 MCP-1 的影响

魏倩萍¹, 邓华聪¹, 赵 劼² (重庆医科大学¹ 附属第一医院内分泌科² 超声工程研究所 重庆 400016)

Role of sodium selenite in regulating expressions of p38MAPK and MCP-1 in rat mesangial cells

WEI Qian-Ping¹, DENG Hua-Cong¹, ZHAO Jie²¹Department of Endocrinology, First Affiliated Hospital, ²Institute of Ultrasound Engineering, Chongqing University of Medical Sciences, Chongqing 400016, China

【Abstract】 AIM: To observe the effect of sodium selenite on expressions of p38 mitogen-activated protein kinase (p38MAPK) and monocyte chemoattractant protein-1 (MCP-1) in rat mesangial cell line HBZY-1, and to study the mechanism of sodium selenite in preventing diabetic nephropathy. **METHODS:** Cell line HBZY-1 was incubated with high glucose, high insulin, H₂O₂ and advanced glycosylation end products (AGEs), respectively (control group); simultaneously, the cell line HBZY-1 pre-treated with sodium selenite was also incubated with the above factors (experimental group). The expressions of p38MAPK and MCP-1 were detected and compared in the 2 groups. **RESULTS:** Four factors increased the expressions of p38MAPK and MCP-1 independently; sodium selenite inhibited the expressions of p38MAPK and MCP-1 by the 4 factors distinctly. **CONCLUSION** Sodium selenite can suppress the expressions of p38MAPK and MCP-1 in the cell line HBZY-1, which suggests that sodium selenite may play a significant role in the prevention of diabetic nephropathy by the inhibition of the expressions of p38MAPK and MCP-1 in the cell line HBZY-1.

【Keywords】 sodium selenite; p38 mitogen-activated protein kinase; monocyte chemoattractant protein-1; mesangial cells; diabetic nephropathy

【摘要】目的: 观察亚硒酸钠对大鼠肾小球系膜细胞系 HBZY-1 表达 p38 丝裂原活化蛋白激酶 (p38MAPK) 和单核细胞趋化蛋白-1 (MCP-1) 的影响, 从而研究硒在防治糖尿病肾病 (DN) 中的作用机制。方法: 分别以高葡萄糖、高胰岛素、过

氧化氢和糖基化终末产物 (AGEs) 刺激 HBZY-1 细胞, 先给予 100 nmol/L 亚硒酸钠预处理后, 再分别以以上 4 种刺激因素孵育 HBZY-1 细胞, 分别检测 HBZY-1 细胞 p38MAPK 和 MCP-1 的表达并比较。结果: 4 种刺激因素均可作为独立因素, 导致 HBZY-1 细胞 p38MAPK 和 MCP-1 表达量增加, 亚硒酸钠能抑制上述 4 种因素所致的 p38MAPK 和 MCP-1 的表达。结论: 亚硒酸钠通过抑制 p38MAPK 和 MCP-1 在 HBZY-1 细胞的表达, 从而有效防治 DN 的发生发展, 表明硒在 DN 的防治过程中发挥积极作用。

【关键词】 亚硒酸钠; p38 丝裂原活化蛋白激酶; 单核细胞趋化蛋白-1; 系膜细胞; 糖尿病肾病

【中图分类号】 R587.24 **【文献标识码】** A

0 引言

近年来国外研究表明单核细胞趋化蛋白-1 (monocyte chemoattractant protein-1, MCP-1) 与糖尿病肾病 (diabetic nephropathy, DN) 有密切关系^[1]。p38MAPK 是细胞信号传递的交汇点或共同通路^[2-3], 但它在 DN 发生中的作用及其与 MCP-1 关系仍不十分清楚, 硒是机体必需微量元素之一, 其缺乏可加剧 DN 的氧化应激, 并可产生拟高血糖病理状态, 从而加剧 DN 的发生发展^[4]。但其是否作用于 p38MAPK 和 MCP-1 国内外未见文献报道。我们分别给予高葡萄糖 (HG)、高胰岛素 (HI)、过氧化氢 (H₂O₂) 和糖基化终末产物 (AGEs) 孵育 HBZY-1 细胞, 观察 HBZY-1 细胞 p38MAPK 和 MCP-1 的表达以及亚硒酸钠对 HBZY-1 细胞 p38MAPK 和 MCP-1 表达的影响, 从而明确二者在 DN 形成中的作用及硒在防治 DN 中的作用机制。

1 材料和方法

1.1 材料 大鼠肾小球系膜细胞系 (HBZY-1, 中国典型培养物保藏中心 CCTCC); 新生牛血清、RPMI 1640 培养液、辣根过氧化物酶标记的羊抗兔 IgG (二抗) (北京中山生物技术有限公司); 亚硒酸钠 (Karolinska Institute 赠送); 柱离心式总 RNA 抽提试剂盒、RT-PCR 两步法试剂盒、PCR 相对分子量标准 (TaKaRa 公司); PCR 引物合成 (上海博亚生物技术有限公司); 蛋白质相对分子量标记物 (Bio-Rad 公司); 磷酸化 p38MAPK 兔多抗 (Promega 公司)。

收稿日期 2005-09-07; 接受日期 2006-03-20

基金项目 国家自然科学基金 (30370670)

通讯作者: 邓华聪。Tel (023) 68700611 Email deng_huacong@yahoo.com.cn

作者简介: 魏倩萍, 博士, 副教授。Tel (023) 68485632 Fax (023) 68485632 Email wqp68894940@163.com

1.2 方法

1.2.1 细胞系 HBZY-1 的培养 HBZY-1 细胞常规培养于 200 mL/L RPMI 1640 培养液中,培养条件为 37℃,饱和湿度 50 mL/L CO₂,每 2~3 日用 0.2 g/L 乙二胺四乙酸 (EDTA) 消化传代。HBZY-1 细胞长满培养瓶底 40% 后分为 9 组,以无血清培养液饥饿 24 h,然后按实验分组加入刺激(及干预)因素。

1.2.2 体外制备 AGEs 参考文献 [5] 按牛血清白蛋白 (bovine serum albumin, BSA) 50 g/L,与葡萄糖 90 g/L,0.5 mmol/L EDTA 及 0.2 mmol/L PBS (pH 7.4) 混匀后过滤除菌,37℃ 恒温培养箱卵孵育 60 d。0.1 mol/L PBS (pH 7.4) 中透析 48 h,测定蛋白含量及荧光强度,分装后存于 -80℃ 冰箱保存备用。

1.2.3 实验分组 分别以一定浓度 HG, HI, H₂O₂ 和 AGEs 刺激细胞系 HBZY-1 一定时间,先给予亚硒酸钠 100 nmol/L 预处理 HBZY-1 细胞 48 h 后,再分别以上述 4 种刺激因素(浓度、时间同前)孵育 HBZY-1 细胞,同时设对照组。分组情况如下:① 对照组:用等体积 PBS 培养细胞;② HG 组:用 25 mmol/L 葡萄糖刺激 HBZY-1 细胞 72 h;③ HI 组:用 100 nmol/L 胰岛素刺激 HBZY-1 细胞 24 h;④ H₂O₂ 组:用 100 μmol/L H₂O₂ 刺激 HBZY-1 细胞 1 h;⑤ AGEs 组:用 100 mg/L AGEs 刺激 HBZY-1 细胞 6 h;⑥ 亚硒酸钠 + HG 组:依次以 100 nmol/L 亚硒酸钠和 25 mmol/L 葡萄糖分别刺激 HBZY-1 细胞 48 h 和 72 h;⑦ 亚硒酸钠 + HI 组:依次以 100 nmol/L 亚硒酸钠和 100 nmol/L 胰岛素分别刺激 HBZY-1 细胞 48 h 和 24 h;⑧ 亚硒酸钠 + H₂O₂ 组:依次以 100 nmol/L 亚硒酸钠和 100 μmol/L H₂O₂ 分别刺激 HBZY-1 细胞 48 h 和 1 h;⑨ 亚硒酸钠 + AGEs 组:依次以 100 nmol/L 亚硒酸钠和 100 mg/L AGEs 分别刺激 HBZY-1 细胞 48 h 和 6 h。

1.2.4 RT-PCR 法检测 MCP-1 mRNA 表达 以柱离心式总 RNA 抽提试剂盒提取细胞系 HBZY-1 总 RNA,测定总 RNA 浓度,计算纯度 A_{260 nm}/A_{280 nm} 均在 1.8~2.0 之间。MCP-1 引物序列按文献 [6]:上游引物:5'-ATCACCAGCAGCAGGTGTCCCAAAGAAGCT-3';下游引物:5'-AGAAGTGCTTGAGGTGGTTGTG-GAAAAGAG-3',扩增片段长度 258 bp。β-actin 引物序列:上游引物:5'-TCCTCTGACTTCAACAGCCA-CACC-3';下游引物:5'-TCTCTCTTCTCTTGTGCTCT-TGG-3',扩增片段长度 228 bp。以两步法 RT-PCR 试剂盒进行反转录扩增,扩增条件 94℃ 变性 30 s,55℃ 退火 1 min,72℃ 延伸 1 min,共 35 个循环,72℃ 最后延伸 7 min。每次 PCR 反应至少重复 3 次。PCR 产物

于 15 g/L 琼脂糖凝胶电泳,结果经图象分析系统扫描存图,并对目的条带进行密度分析。

1.2.5 Western blot 法检测 p38MAPK 蛋白表达 培养的细胞系 HBZY-1,经 4℃ 胞浆蛋白提取液裂解,提取物在冰上孵育 2 h,然后 12 000 g 4℃ 离心 10 min,沉淀加入 4℃ 预冷核蛋白提取液,震荡混匀,冰浴 1 h,再 12 000 g 4℃ 离心 30 min,取上清为核蛋白,其蛋白浓度经考马斯亮蓝法定量。磷酸化 p38MAPK 表达量采用 Western blot 法检测,核蛋白中加入等体积 2× 上样缓冲液煮沸 5 min。进行 10 mol/L SDS-PAGE 将蛋白转至 PVDF 膜后用 5 g/L BSA 室温下封闭 2 h,分别用 1:2000 抗磷酸化 p38MAPK 兔多抗 4℃ 孵育过夜,用 PBS 充分洗涤,再用辣根过氧化物酶标记的羊抗兔 IgG 1:5000,37℃ 孵育 1 h,用 PBS 充分洗涤,DAB 显色试剂盒显色。结果经图象分析系统对目的条带进行扫描存图并进行密度分析。

统计学处理 资料采用 SAS 8.0 进行统计分析,组间两两比较用非参数统计分析, P < 0.05 即认为有统计学差异。

2 结果

2.1 细胞系 HBZY-1 MCP-1 mRNA 表达 细胞系 HBZY-1 MCP-1 mRNA 表达以 β-actin 作为内参照物调整后,进行半定量分析, HG, HI, H₂O₂ 和 AGEs 均可作为独立因素使细胞系 HBZY-1 MCP-1 mRNA 表达量均明显增加 (P < 0.01, 表 1, 图 1)。

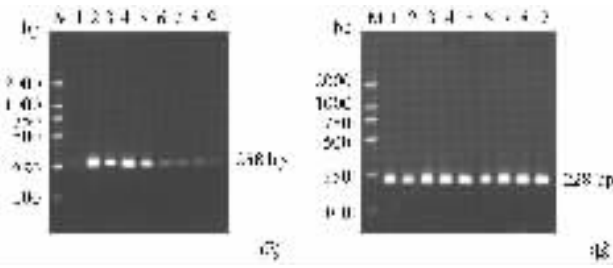
表 1 各组细胞系 HBZY-1 MCP-1 RT-PCR 和磷酸化 p38 MAPK Western blot 半定量结果 (n = 6 $\bar{x} \pm s$)

组别	光密度	
	RT-PCR	Western blot
对照	0.3036 ± 0.0188	0.2968 ± 0.0140
HG	1.1794 ± 0.0104 ^b	1.5642 ± 0.0553 ^b
HI	1.0294 ± 0.036 ^b	1.4742 ± 0.0420 ^b
H ₂ O ₂	1.005 ± 0.0315 ^b	1.4691 ± 0.0506 ^b
AGEs	0.8685 ± 0.0123 ^b	1.3592 ± 0.0457 ^b
亚硒酸钠 + HG	0.4593 ± 0.0192 ^{bd}	0.4501 ± 0.0179 ^{bd}
亚硒酸钠 + HI	0.3756 ± 0.0177 ^{bd}	0.3535 ± 0.0143 ^{bd}
亚硒酸钠 + H ₂ O ₂	0.4109 ± 0.0092 ^{bd}	0.3775 ± 0.0150 ^{bd}
亚硒酸钠 + AGEs	0.3097 ± 0.0191 ^d	0.4292 ± 0.0151 ^{bd}

^bP < 0.01 vs 对照; ^dP < 0.01 vs 相应刺激。HG:高葡萄糖组; HI:高胰岛素组; AGEs:糖基化终末产物组; H₂O₂:过氧化氢组。

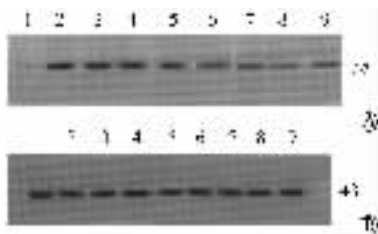
2.2 细胞系 HBZY-1 磷酸化 p38MAPK 蛋白表达 细胞系 HBZY-1 磷酸化 p38 MAPK 蛋白表达以 β-

actin 作为内参照物调整后,进行半定量分析, HG ,HI , H₂O₂ 和 AGEs 均可作为独立因素激活 p38MAPK ,使细胞系 HBZY-1 磷酸化 p38 MAPK 蛋白表达明显增加(*P* < 0.01 表 1 图 2)。



M : DNA marker ; 1 对照 ; 2 : HG ; 3 : HI ; 4 : H₂O₂ ; 5 : AGEs ; 6 : selenite + HG ; 7 : selenite + HI ; 8 : selenite + H₂O₂ ; 9 : selenite + AGEs. A : MCP-1 mRNA ; B : β -actin mRNA.

图 1 RT-PCR 法检测各组细胞系 HBZY-1 MCP-1 mRNA 和 β -actin mRNA 表达



1 对照 ; 2 : HG ; 3 : HI ; 4 : H₂O₂ ; 5 : AGEs ; 6 : selenite + HG ; 7 : selenite + HI ; 8 : selenite + H₂O₂ ; 9 : selenite + AGEs. A : p38 MAPK ; B : β -actin.

图 2 Western blot 法检测各组细胞系 HBZY-1 磷酸化 p38 MAPK 蛋白和 β -actin 蛋白表达

2.3 细胞系 HBZY-1 MCP-1 mRNA 表达 细胞系 HBZY-1 MCP-1 mRNA 表达以 β -actin 作为内参照物调整后,进行半定量分析. 亚硒酸钠预处理后,再分别给予以上 4 种刺激因素,细胞系 HBZY-1 ,可见 MCP-1 mRNA 表达量分别较相应未经亚硒酸钠预处理各组明显减少(*P* < 0.01 表 1 图 1)。

2.4 细胞系 HBZY-1 磷酸化 p38MAPK 蛋白表达的影响 HBZY-1 细胞磷酸化 p38 MAPK 蛋白表达以 β -actin 作为内参照物调整后,进行半定量分析. 先以亚硒酸钠预处理细胞系 HBZY-1 后,再分别给予上述 4 种刺激因素刺激细胞系 HBZY-1 ,可见磷酸化 p38 MAPK 蛋白表达量分别较相应未经亚硒酸钠预处理各组显著减少(*P* < 0.01) ,但与对照组比较仍有显著差异(*P* < 0.01 表 1 图 2)。

3 讨论

本研究结果显示 HG , HI , H₂O₂ 和 AGEs 均可单独诱导细胞系 HBZY-1 ,使其 MCP-1 mRNA 表达量明

显增加. 4 种刺激因素诱导 HBZY-1 细胞 MCP-1 mRNA 表达增加的机制,结合文献和实验结果我们认为有以下几点: ① 高糖有直接刺激 MCP-1 mRNA 及蛋白表达增高的作用,该作用是 PKC ,MAPKs 所介导,这可能是 DN 时肾小球中单核巨噬细胞浸润的重要原因; ② 大量 AGEs 可以和系膜细胞上的 AGEs 受体(RAGE)相互作用,使 I κ B 磷酸化而导致 NF- κ B 激活. 新近的研究表明^[8] ,AGEs 与 AGEs 受体(RAGE)相互作用可消耗细胞内谷胱甘肽,产生大量的氧自由基,从而导致细胞内信号传导改变,激活核转录因子 NF- κ B/AP-1. 同时 NF- κ B 也是调节 RAGE 表达的一个启动子,它的位点 1 和位点 2 的激活可使 RAGE 表达上调, NF- κ B 的激活作为一种正反馈,又进一步促进了 AGEs 与 RAGE 的结合,导致 NF- κ B 的持续活化,而活化的 NF- κ B 可以上调 MCP-1 mRNA 和蛋白表达,从而在糖尿病所致肾脏损害中发挥重要作用; ③ 过氧化氢可导致系膜细胞氧化应激加剧,诱导细胞内 ROS 产生,从而迅速激活 NF- κ B ,上调 MCP-1 表达,在 DN 发生发展早期起重要作用^[8] ; ④ HI 可能是通过激活 PKC ,MAPKs 信号通路,引起系膜细胞氧化还原状态发生变化,使细胞内 ROS 产生增加,导致 NF- κ B 激活,从而使 MCP-1 表达上调。

MCP-1 介导糖尿病肾小球损伤. MCP-1 不仅对血液中单核细胞有很强的趋化活性,也能通过激活转录因子 NF- κ B 和 AP-1 来诱导非炎症细胞产生细胞因子和黏附分子,在诱导单核细胞迁入内皮下间隙及渗入肾小球的过程中起重要作用^[7-8] ,同时,渗入到肾小球的单核巨噬细胞反过来又刺激局部肾小球细胞,在巨噬细胞衍化生长因子如 PDGF 和 TGF- β 等作用下导致系膜增生和细胞外基质聚集,此外通过炎症细胞因子作用,还可上调黏附分子和趋化因子的分泌,从而进一步有利于白细胞渗入到肾小球^[7] . 近年来通过细胞实验及对人和实验动物 DN 的研究发现, MCP-1 在 DN 的发病机制中起重要作用。

p38MAPK 可被多种细胞外刺激激活,导致细胞生长、增殖、分化和调控某些因子表达^[9-11] . 本研究以糖尿病时存在的 4 种应激因素,诱导大鼠肾小球系膜细胞系 HBZY-1 ,可见 p38MAPK 被激活,磷酸化表达增加。

硒是机体必需微量元素之一,是谷胱甘肽过氧化物酶的重要组成部分,缺硒可出现拟高血糖症病理状态,引起白蛋白尿和肾小球硬化,从而加剧 DN 的发生发展,补充硒不仅可预防氧化应激,而且可防止肾脏损伤^[4,12] . 本研究结果还显示,亚硒酸钠具有类似 p38 MAPK 抑制剂所产生的作用,其机制可能是: ①

通过保护系膜细胞免遭氧化损伤而抑制 MCP-1 的分泌 ②通过抑制 p38 MAPK 信号通路而抑制 MCP-1 在系膜细胞的表达。表明亚硒酸钠可能通过抑制 p38MAPK 而延缓 DN 的发生发展,但亚硒酸钠是否通过抗氧化而抑制 p38 MAPK 亦或作用于信号通路的其它环节尚需进一步深入探讨,提示硒在防治 DN 发生发展过程中发挥着积极作用。

【参考文献】

- [1] Banba N, Nakamura T, Matsumura M, et al. Possible relationship of monocyte chemoattractant protein-1 with diabetic nephropathy[J]. *Kidney Int* 2000 58(2): 684-690.
- [2] Sakai N, Wada T, Furuichi K, et al. Involvement of extracellular signal-regulated kinase and p38 in human diabetic nephropathy[J]. *Am J Kidney Dis*, 2005 45(1): 54-65.
- [3] Xu ZG, Kim KS, Park HC, et al. High glucose activates the p38 MAPK pathway in cultured human peritoneal mesothelial cells[J]. *Int Soc Nep*, 2003, 63(3): 958-968.
- [4] Reddi AS, Bollineni JS. Selenium-deficient diet induces renal oxidative stress and injury via TGF- β 1 in normal and diabetic rats[J]. *Kidney Int*, 2001 59(4): 1342-1353.
- [5] Makita Z, Vlassara H, Cerami A, et al. Immunochemical detection of advanced glycosylation end products *in vivo*[J]. *J Biol Chem*,

1992, 267: 5133-5138.

- [6] Lynn EG, Siow YL, Karmin O. Very low-density lipoprotein stimulates the expression of monocyte chemoattractant protein-1 mesangial cells[J]. *Kidney Int* 2000 57(4): 1472-1483.
- [7] Christiane V, Ralph D, Fei J, et al. MCP-1 induces inflammatory activation of human tubular epithelial cells: involvement of the transcription factors, nuclear factor- κ B and activating protein-1[J]. *Nephrology*, 2002, 13(6): 1534-1547.
- [8] Ha HJ, Yu MR, Jin CY, et al. Role of high glucose-induced nuclear factor- κ B activation in monocyte chemoattractant protein-1 expression by mesangial cells[J]. *J Am Soc Nephrol* 2002 13(4): 894-902.
- [9] Wilmer WA, Dixon CL, Hebert C. Chronic exposure of human mesangial cells to high glucose environments activates the p38MAPK pathway[J]. *Int Soc Nep*, 2001, 60(3): 858-871.
- [10] Dai T, Natarajan R, Nast CC, et al. Glucose and diabetes: Effects on podocyte and glomerular p38MAPK, heat shock protein 25, and actin cytoskeleton[J]. *Kidney Int*, 2006 69(5): 806-814.
- [11] 张坚, 李圣青, 戚好文, 等. p38MAPK 在大鼠急性肺损伤模型中的表达及抗氧化剂 NAC 的影响[J]. *第四军医大学学报*, 2004 25(15): 1353-1355.
- [12] Sheng XQ, Huang KX, Xu Hb, et al. New experimental observation on the relationship of selenium and diabetes mellitus[J]. *J Biol Trace Elem Res*, 2004 99(1-3): 241-254.

编辑 甄志强

· 经验交流 · 文章编号 1000-2790(2006)11-0967-01

绒毛膜上皮癌 17 例的临床特征

樊晓君¹, 姜晓波¹, 齐晓娥¹, 马向东², 辛晓燕² (¹兵器工业 521 医院妇产科, 陕西 西安 710065, ²第四军医大学西京医院妇产科, 陕西 西安 710033)

【关键词】绒毛膜上皮癌; HCG; 病理检查; 化疗

【中图分类号】R737.31 【文献标识码】B

1 临床资料 2000-01/2004-12 收治绒毛膜上皮癌 17 例, 年龄 22~58(平均 35.6)岁, 既往均有妊娠史或葡萄胎病史。有明确停经史者 6 例, 不规则阴道流血 9 例, 无明确停经史者 2 例; 本病距先行妊娠最近者为妊娠合并绒癌 1 例, 最远者 8 a; 腹痛 3 例, 咳嗽、咯血 1 例, 黑便 1 例, HCG 升高 4 例; 葡萄胎清宫后正规随访 1 例, 未正规随访 5 例。初次就诊查 HCG 13 例, 出现异常阴道出血未查 HCG 而误诊 3 例, 依据 B 超提示最终明确诊断者 8 例(47.1%)。疑不全流产、胎盘残留等行诊断性刮宫者 10 例(58.8%)。第 1 次诊刮即送病检者 3 例, 第 2 次诊刮送病检者 1 例, 均经病理学证实为绒癌。治疗前依据病检明确诊断者 4 例, 术后病检明确诊断者 4 例, 未出现转

移或仅出现肺转移经化疗加手术治疗效果明显者 13 例(其中 1 例 18 a 未复发); 无转移经化疗预后差者 1 例, 为妊娠合并绒癌 1 例出现肺转移, 经化疗效果不明显, 考虑与化疗剂量不足产生耐药; 1 例出现肠转移, 化疗加手术切除转移灶效果不佳, 属于高危的晚期病例; 1 例为子宫肌瘤合并绒癌, 8 a 前有葡萄胎病史, 因子宫肌瘤行全子宫切除术, 术后 2 mo 出现盆腔巨大包块, 再次手术, 病检为绒癌, 化疗效果差, 属于复发型。出院后平均随访 8 mo, 治愈者 1 例, 明显好转者 12 例, 4 例手术加化疗预后较差。

2 讨论 本组 17 例均有妊娠史或葡萄胎病史, 仔细询问病史有助于诊断。更年期妇女出现症状应尽早诊刮、送病检。绒癌早期临床表现无特异性, 仅凭临床经验误诊率高。HCG 定量检测在绒癌诊断上有重要价值。绒癌引起急腹症后并腹腔内大出血少见, 易误诊为异位妊娠^[1]。盲目人流手术是导致绒癌子宫穿孔的原因之一。早期恶性滋养细胞肿瘤患者治愈率达 90% 以上, 应告知患者坚持治疗可治愈, 建立治疗疾病的信心, 勿中断治疗, 防止发展为高危的晚期、耐药、复发病例^[2]。治疗上以化疗为主, 手术为辅, 早期治疗效果显著。

【参考文献】

- [1] 杨莹香, 杨秀飞, 朱发令. 绒癌误诊为异位妊娠 1 例分析[J]. *实用妇产科杂志* 2003 19(4): 223-224.
- [2] 向阳. 耐药性滋养细胞肿瘤的化疗及其进展[J]. *中国实用妇科与产科杂志*, 2004 20(3): 129-130.

收稿日期 2005-08-15; 接受日期 2005-11-26

作者简介: 樊晓君, 主治医师. Tel: (029)88235185 Email: fan-xj@sohu.com

编辑 潘伯荣